

PRZETWARZANIE SYGNAŁÓW CYFROWYCH

(ang. DIGITAL SIGNAL PROCESSING)

dr hab. inż. Konrad Kowalczyk, prof. AGH

Pawilon C-2 pok. 420

Tel. (12) 617-3639

Email: konrad.kowalczyk@agh.edu.pl

sp.agh.edu.pl

Wykłady dostępne na UPEL:

Cyfrowe Przetwarzanie Sygnałów – EiT

Grupa: CPS_2020_2021

Hasło: CPS_2021

www.agh.edu.pl

Ćwiczenia laboratoryjne

Laboratoria prowadzone w trybie zdalnym:

- Ćwiczenia laboratoryjne: Notebooki w języku Python
- Przez udostępniony serwis na serwerach zespołu DSP AGH

Prowadzący laboratoria:

mgr inż. Szymon Woźniak (główna osoba kontaktowa)

mgr inż. Mieszko Fraś

mgr inż. Mateusz Guzik

Pawilon C-2 pok. 418

Email: szymon.wozniak@agh.edu.pl

www.agh.edu.pl

Literatura

1. Alan V. Oppenheim, Ronald W. Schaffer: Cyfrowe przetwarzanie sygnałów. Wydawnictwa Komunikacji i Łączności, 1979.
2. Richard G. Lyons: Wprowadzenie do cyfrowego przetwarzania sygnałów. Wydawnictwa Komunikacji i Łączności, WKŁ 1999, 2003.
3. Jacek Izydorczyk, Jacek Konopacki: Filtry analogowe i cyfrowe. 2004.
4. Tomasz Zieliński: Cyfrowe przetwarzanie sygnałów. WKŁ 2005.
5. Jacek Izydorczyk, Grzegorz Plonka, Grzegorz Tyma: Teoria Sygnałów. Helion 1999.
6. Jerzy Szabat: Podstawy teorii sygnałów. Wydawnictwa Komunikacji i Łączności, 1982.
7. Marian Pasko, Janusz Walczak: Teoria sygnałów. Wydawnictwo Politechniki Śląskiej, Gliwice 1999.
8. Włodzimierz Kwiatkowski: Wstęp do cyfrowego przetwarzania sygnałów. Warszawa 2003.
9. Dag Stranneby: Cyfrowe przetwarzanie sygnałów. BTC 2004.
10. Kajetana M. Snopek, Jacek M. Wojciechowski: Sygnały i systemy: zbiór zadań. Oficyna Wydawnicza Politechniki Warszawskiej 2010.
11. Bartosz Ziółko, Mariusz Ziółko: Przetwarzanie mowy. AGH 2011.
12. Tomasz Zieliński, Przemysław Korohoda, Roman Rumian (Red): Cyfrowe przetwarzanie sygnałów w telekomunikacji PODSTAWY - MULTIMEDIA – TRANSMISJA. Warszawa 2014.

Ocena końcowa

Warunkiem uzyskania pozytywnej oceny końcowej jest uzyskanie pozytywnej oceny z laboratorium oraz z egzaminu.

Warunkiem przystąpienia do egzaminu jest uzyskanie pozytywnej oceny z laboratorium.

Ocena końcowa jest średnią arytmetyczną oceny z laboratorium i egzaminu.

Jeżeli wartość średnia nie odpowiada obowiązującej skali ocen, ocena końcowa jest zaokrągleniem wartości średniej w kierunku oceny z egzaminu.

Lista tematów:

1. Przetwarzanie sygnałów analogowych na cyfrowe
2. Dyskretna transformacja Fouriera
3. Szybka transformacja Fouriera
4. Okna oraz analiza krótko-czasowa
5. Z-transformacja
6. Filtry cyfrowe typu FIR
7. Filtry cyfrowe typu IIR
8. Filtracja pod-pasmowa
9. Rodzaje transformacji (np. kosinusowa, falkowa, Hilberta)
10. Kompresja sygnałów 1-D lub statystyczne przetwarzanie sygnałów

Przykład zastosowania DSP

Kompresja obrazu



Przykład zastosowania DSP

Kompresja audio - wideo



PRZETWARZANIE SYGNAŁÓW ANALOGOWYCH NA SYGNAŁY CYFROWE

Spis treści

1. Definicja próbkowania sygnału
2. Twierdzenie Shannona
3. Aliasing czyli utożsamianie
4. Przetwarzanie obrazów analogowych na dyskretne

Klasyfikacja sygnałów

Sygnały deterministyczne:

- Okresowe
- Zmodulowane
- Impulsowe o ograniczonej energii
- O nieskończonym czasie trwania i ograniczonej energii

Sygnały losowe (stochastyczne):

- stacjonarne
- niestacjonarne

Klasyfikacja sygnałów

Modele matematyczne sygnałów:

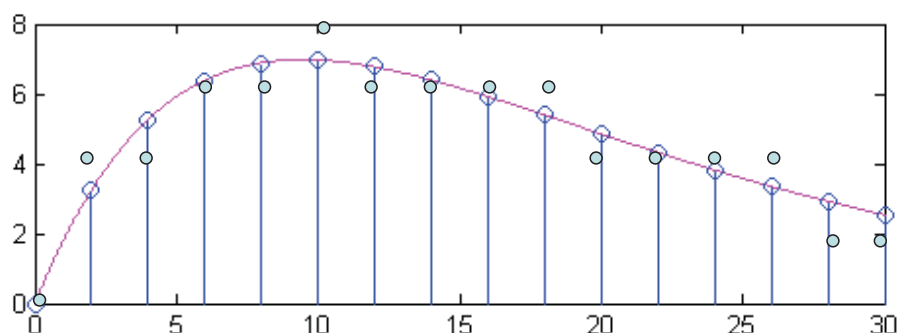
- Funkcje rzeczywiste (1D, 2D, 3D, MD)
- Funkcje zespolone
- Dystrybucje sygnałów

Ciągłe/dyskretne:

- Sygnały ciągłe czasu ciągłego
- Sygnały dyskretnie czasu ciągłego
- Sygnały ciągłe czasu dyskretnego
- Sygnały cyfrowe

11

Próbkowanie sygnałów (ang. sampling)



Dyskretyzacja czyli próbkowanie

Sygnał dyskretny 

+

Kwantyzacja

Sygnał cyfrowy 

**Czy znając dyskretne wartości sygnału
można z nich odtworzyć sygnał analogowy?**

12

Próbkowanie sygnału akustycznego



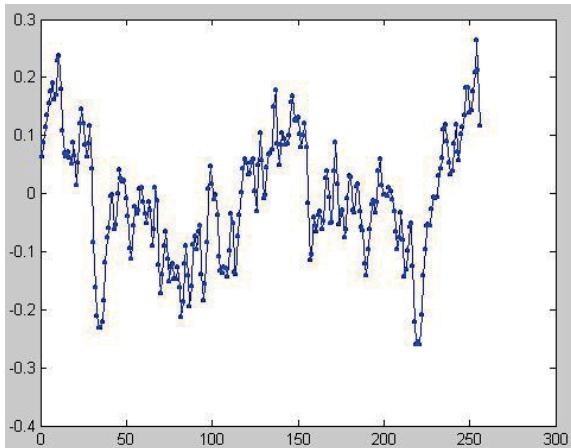
Sygnał dyskretny powstaje z sygnału analogowego zgodnie ze wzorem

$$s(i) = s_a(i\Delta t)$$

przy czym Δt jest odstępem między próbkami, czyli okresem próbkowania.

Odwrotność okresu próbkowania jest częstotliwością próbkowania $f_p = \frac{1}{\Delta t}$

Sygnał dyskretny można zapisać w postaci wektorowej $s = [s(0), s(1), \dots, s(M-1)]^T \in \mathbb{R}^M$



Przykład M=256 próbek sygnału Starwars

$$f_p = \frac{1}{\Delta t} = 44100 [Hz]$$

czyli

$$\Delta t = \frac{1}{44100} [s] = 2268 \cdot 10^{-8} [s] = 22,68 [\mu s]$$

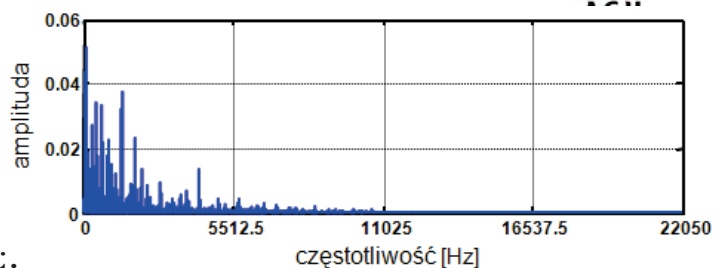


Twierdzenie Shannona



Kotelnikow 1933 rok

Shannon 1949 rok



Jeżeli spełnione są warunki:

- 1) nośnik widma sygnału $\hat{s} \in L^2(\mathbb{R})$ jest ograniczony, tzn. istnieje $f_m > 0$ takie, że $\hat{s}(f) = 0$ dla $|f| \geq f_m$,
- 2) próbki $\{s(n\Delta t)\}_{n=-\infty}^{\infty}$ sygnału są pobierane w odstępach czasu Δt

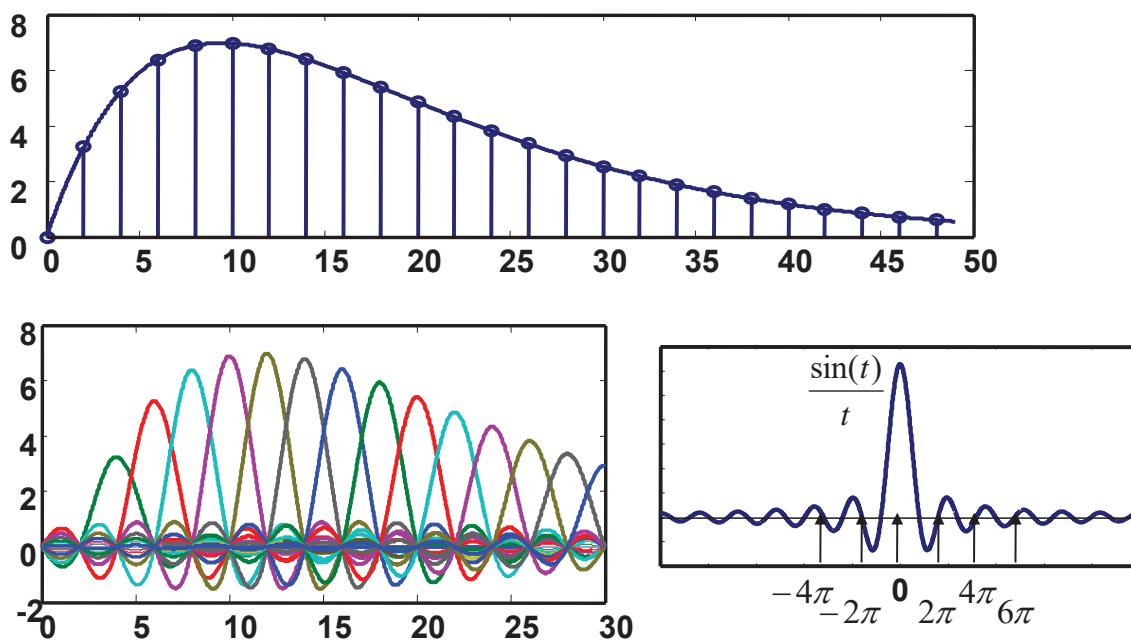
takich, że $\frac{1}{\Delta t} = f_p \geq 2f_m$,

to wtedy sygnał $s(t)$ może być odtworzony z ciągu próbek za pomocą szeregu

$$s(t) = \sum_{n=-\infty}^{\infty} s(n\Delta t) \frac{\sin(\pi(t - n\Delta t) / \Delta t)}{\pi(t - n\Delta t) / \Delta t}.$$

Przykład odtwarzania sygnału

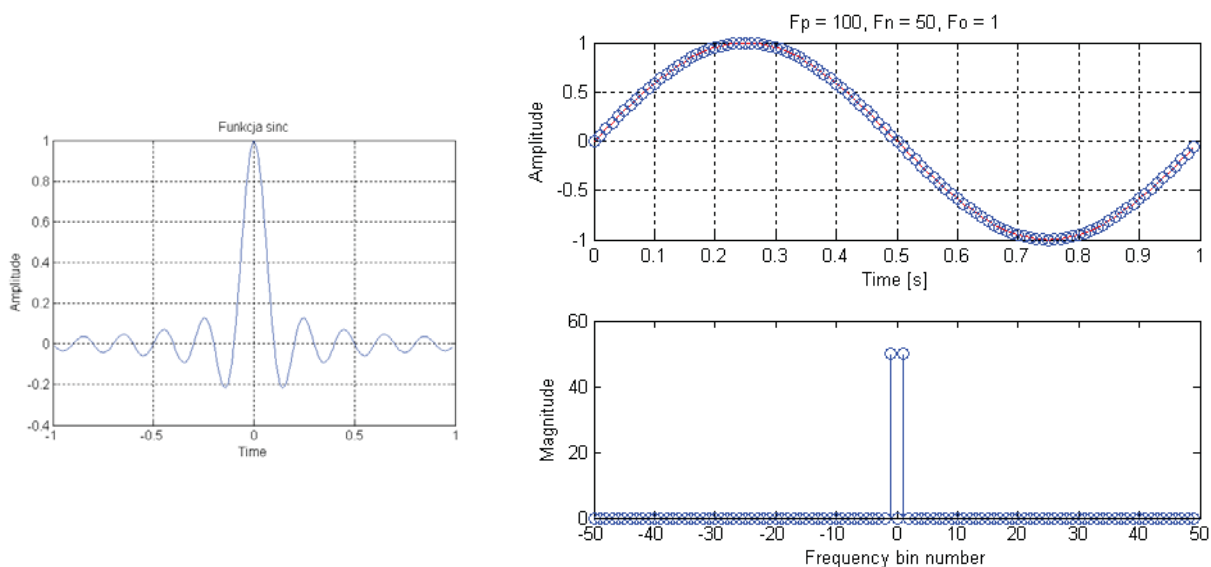
$$s(t) = \sum_{n=-\infty}^{\infty} s(n\Delta t) \frac{\sin(\pi(t - n\Delta t) / \Delta t)}{\pi(t - n\Delta t) / \Delta t}$$



Przykład odtworzenia sygnału

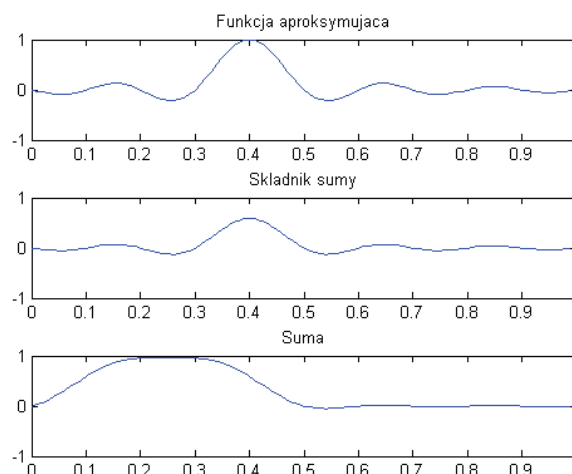
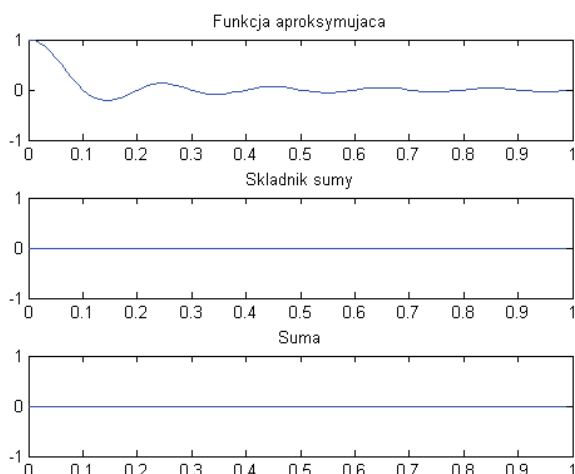
Przykład odtwarzania sygnału sinus

używając co 10 próbek sygnału przy $F_p = 100$ Hz z sinusa o częstotliwości $F_o = 1$ Hz



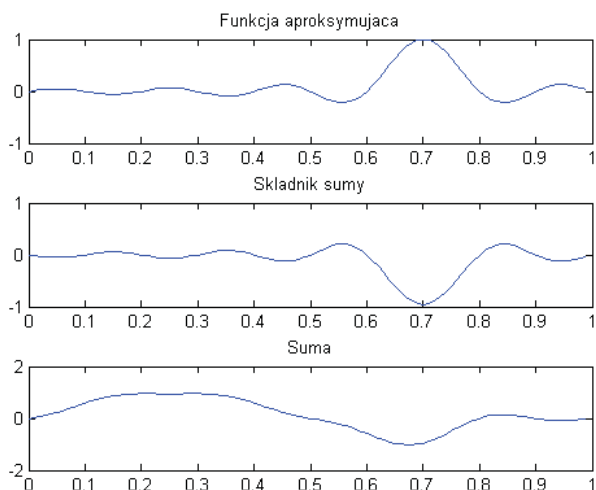
Przykład odtworzenia sygnału

Kolejne kroki odtwarzania sygnału

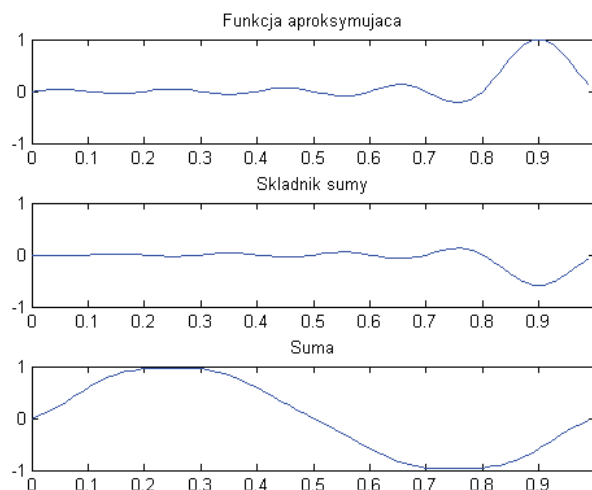


Przykład odtworzenia sygnału

W kolejnych krokach ...

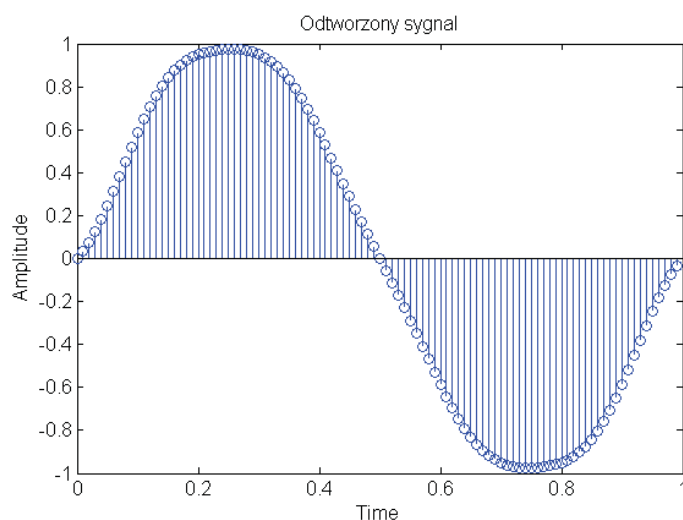


ostatni krok



Przykład odtworzenia sygnału

Ostatecznie otrzymany sygnał po zmniejszeniu częstotliwości próbkowania 10x



Ciekawostka z historii



Harry Nyquist
1889-1976

Kryterium Nyquista "Certain topics in telegraph transmission theory", 1928 r.

„Up to $2B$ independent pulse samples could be sent through a system of bandwidth B ; but he did not explicitly consider the problem of sampling and reconstruction of continuous signals.”



Claude Shannon
1916-2001
www.agh.edu.pl

Twierdzenie Shannona "Communication in the Presence of Noise", 1949 r.

„If a function contains no frequencies higher than Ω_{max} (in radians per second), it is completely determined by giving its coordinates at a series of points spaced $T=\pi/\Omega_{max}$ seconds apart.”

Wstęp do dowodu tw. Shannona

We wzorze na odwrotną transformację Fouriera

$$s(t) = \int_{-f_m}^{f_m} \hat{s}(f) e^{2\pi j f t} df$$

możemy zmienić granice całkowania otrzymując

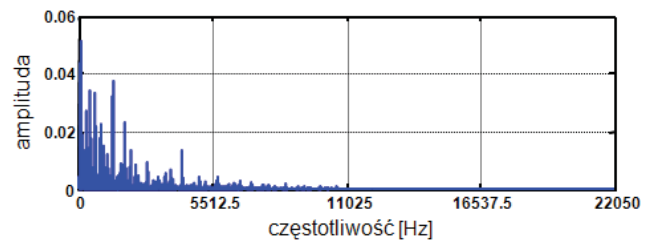
$$s(t) = \int_{-f_p/2}^{f_p/2} \hat{s}(f) e^{2\pi j f t} df$$

Obie całki są jednakowe bo jeżeli $f_p/2 > f_m$

to musi być spełniony warunek $\hat{s}(f) = 0$

na odcinkach $[-f_p/2, -f_m]$ i $[f_m, f_p/2]$

f_m oznacza maksymalną częstotliwość sygnału



21

Początek dowodu tw. Shannona

Ze wzoru na odwrotną transformację Fouriera

$$s(t) = \int_{-f_p/2}^{f_p/2} \hat{s}(f) e^{2\pi j f t} df$$

wyrugujemy $\hat{s}(f)$ wstawiając szereg Fouriera

$$\hat{s}(f) = \sum_{n=-\infty}^{\infty} s_n e^{-2\pi j n f / f_p} \quad \text{zbieżny na odcinku } [-0,5 f_p, 0,5 f_p]$$

Przy okazji zauważmy, że współczynniki tego szeregu dane są wzorem

$$s_n = \frac{1}{f_p} \int_{-f_p/2}^{f_p/2} \hat{s}(f) e^{2\pi j n f / f_p} df \quad \text{czyli} \quad s_n = \frac{1}{f_p} s(n / f_p)$$

Otrzymujemy zatem

$$s(t) = \sum_{n=-\infty}^{\infty} s_n \int_{-f_p/2}^{f_p/2} e^{2\pi j \left(t - \frac{n}{f_p}\right) f} df$$

22

Kontynuacja dowodu tw. Shannona

Dla otrzymanego wzoru

$$s(t) = \sum_{n=-\infty}^{\infty} s_n \int_{-f_p/2}^{f_p/2} e^{2\pi j \left(t - \frac{n}{f_p}\right) f} df$$

wyliczmy występującą w nim całkę

$$\int_{-f_p/2}^{f_p/2} e^{2\pi j \left(t - \frac{n}{f_p}\right) f} df = \int_{-f_p/2}^{f_p/2} \left[\cos \left(2\pi \left(t - \frac{n}{f_p} \right) f \right) + j \sin \left(2\pi \left(t - \frac{n}{f_p} \right) f \right) \right] df = \frac{\sin(\pi(f_p t - n))}{\pi(t - n/f_p)}$$

Uwaga! Po podstawieniu granic całkowania funkcja cosinus znikła bo jest funkcją parzystą!

Zakończenie dowodu

Do wzoru

$$s(t) = \sum_{n=-\infty}^{\infty} s_n \int_{-f_p/2}^{f_p/2} e^{2\pi j \left(t - \frac{n}{f_p}\right) f} df$$

podstawiamy

$$\int_{-f_p/2}^{f_p/2} e^{2\pi j \left(t - \frac{n}{f_p}\right) f} df = \frac{\sin(\pi(f_p t - n))}{\pi(t - n/f_p)} \quad \text{oraz} \quad s_n = \frac{1}{f_p} s(n/f_p)$$

otrzymując

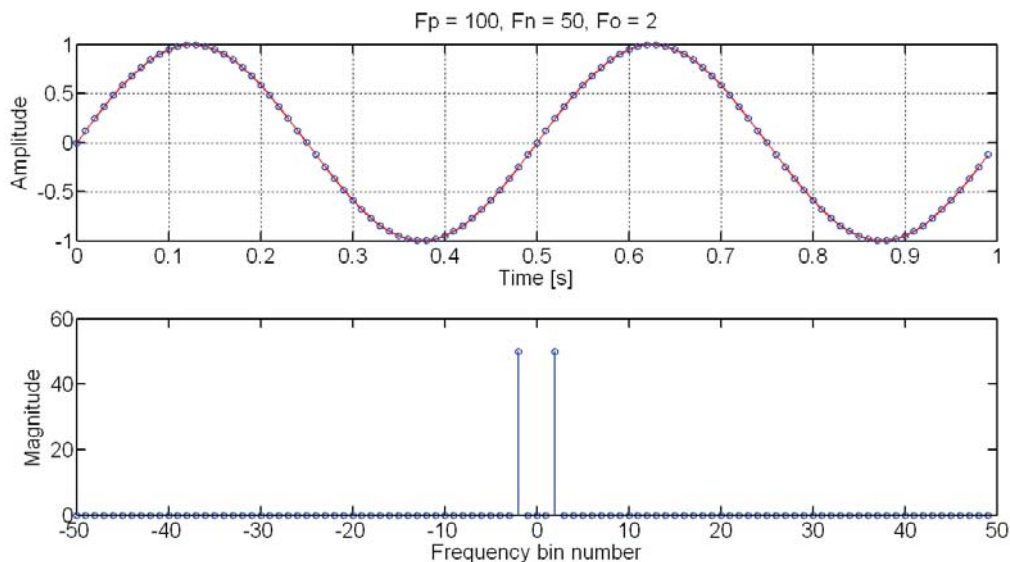
$$s(t) = \sum_{n=-\infty}^{\infty} s(n/f_p) \frac{\sin(\pi(f_p t - n))}{\pi(f_p t - n)}$$

Uwzględniając $\frac{1}{f_p} = \Delta t$ dostajemy ostatecznie

$$s(t) = \sum_{n=-\infty}^{\infty} s(n\Delta t) \frac{\sin(\pi(t - n\Delta t)/\Delta t)}{\pi(t - n\Delta t)/\Delta t}$$

Widmo sygnału próbkowanego

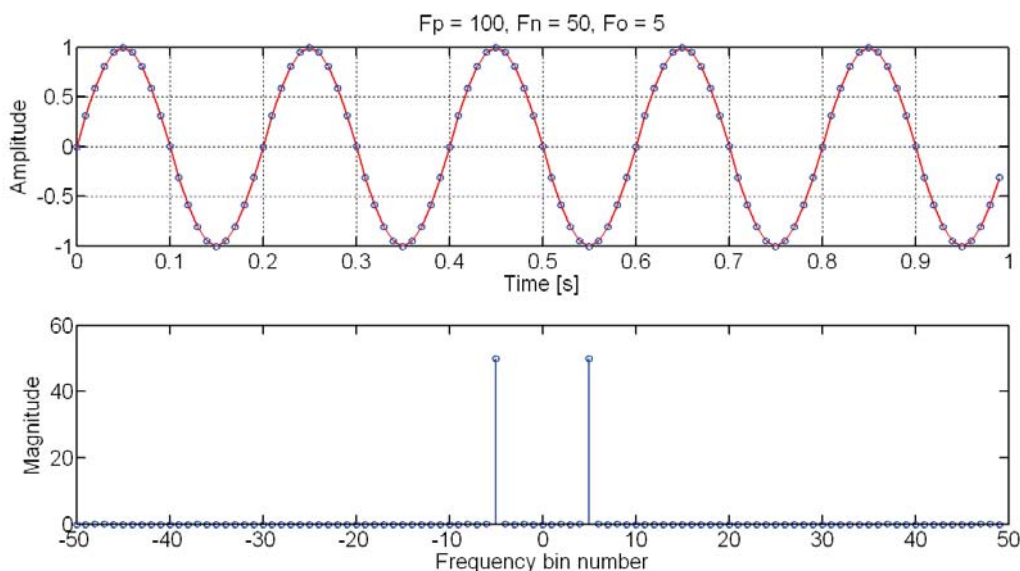
Sygnał sinus o częstotliwości 2 Hz i jego widmo amplitudowe przy częstotliwości próbkowania 100 Hz



25

Widmo sygnału próbkowanego

Sygnał sinus o częstotliwości 5 Hz i jego widmo amplitudowe przy częstotliwości próbkowania 100 Hz

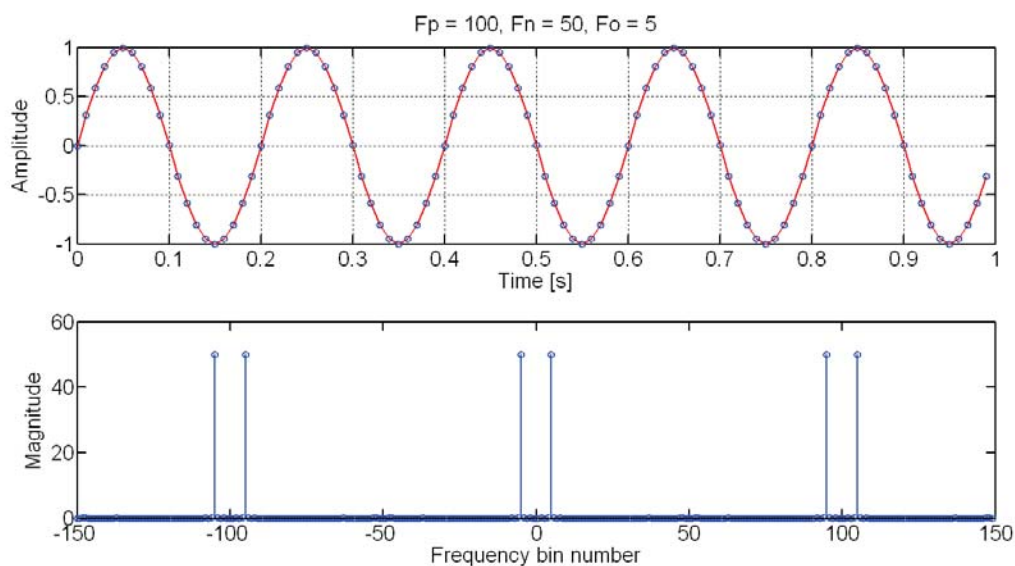


26

Widmo sygnału próbkowanego

Czy pokazane widmo amplitudowe jest poprawne?

Z czego wynika takie widmo?



27

Zmiany częstotliwości próbkowania

Z twierdzenia Shannona wiemy, że

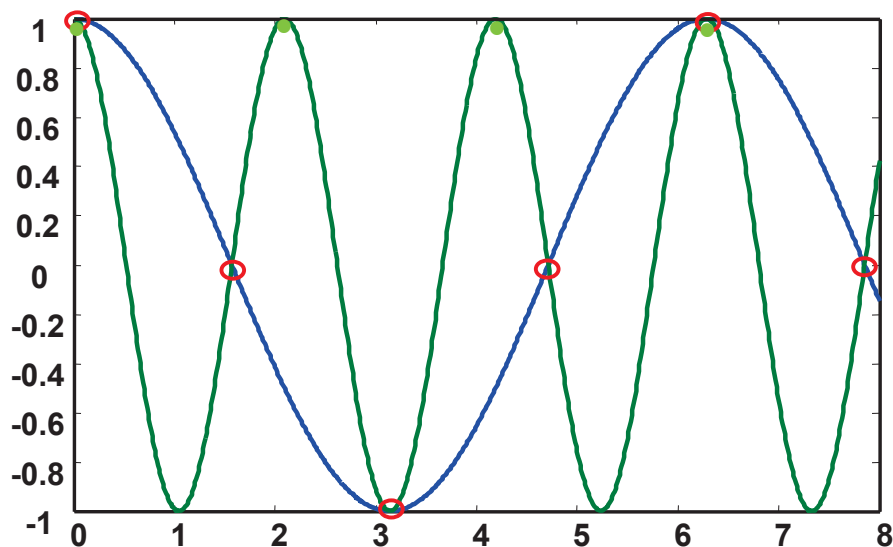
$$\frac{1}{\Delta t} = f_p \geq 2f_m,$$

Zatem częstotliwość próbkowania może być dowolnie duża.

Co się jednak stanie jeżeli częstotliwość próbkowania będzie za mała?

28

Aliasing czyli utożsamianie

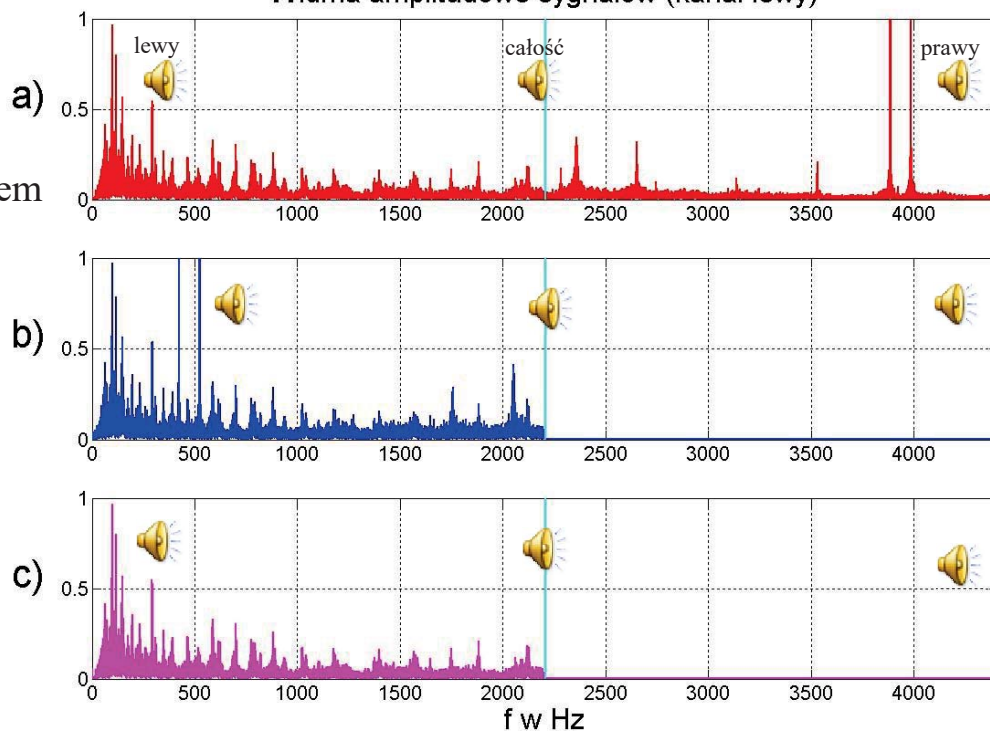


Przyjęta gęstość dyskretyzacji oznacza, że próbki ○ mają takie same wartości dla dwóch różnych sygnałów.

Przykład 1

Widma amplitudowe sygnałów (kanał lewy)

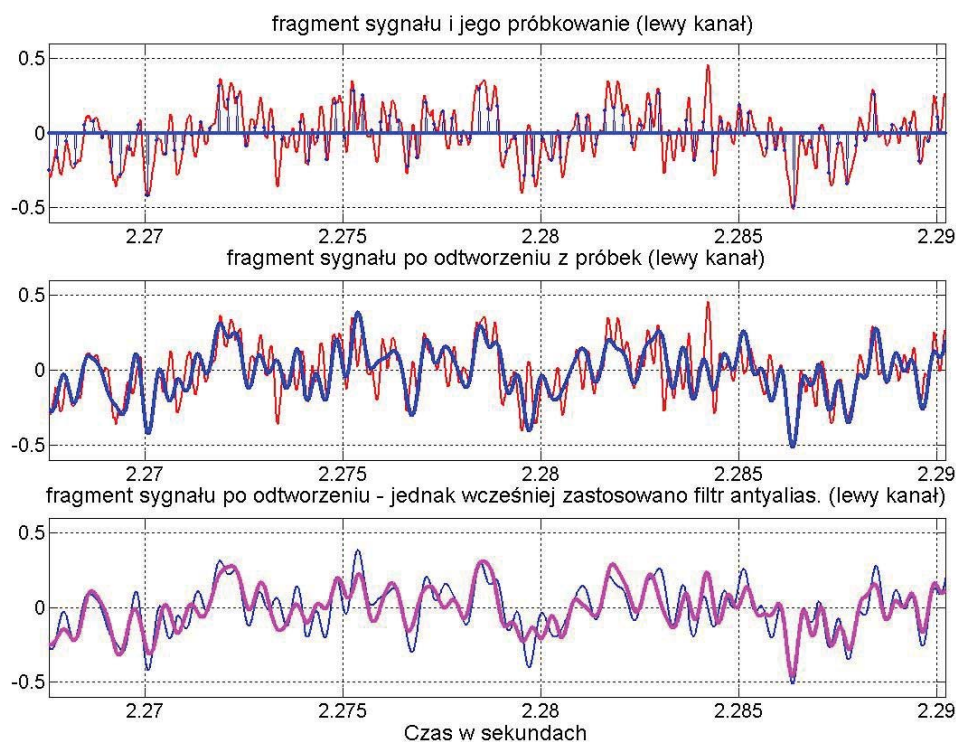
- a) przed próbkowaniem
- b) po próbkowaniu z aliasingiem
- c) po próbkowaniu poprzedzonym filtracją antyaliasingową



Zakłócenie dodano tylko do kanału lewego

$f_p = 44100$ Hz zamieniamy na 4410 Hz (10x)

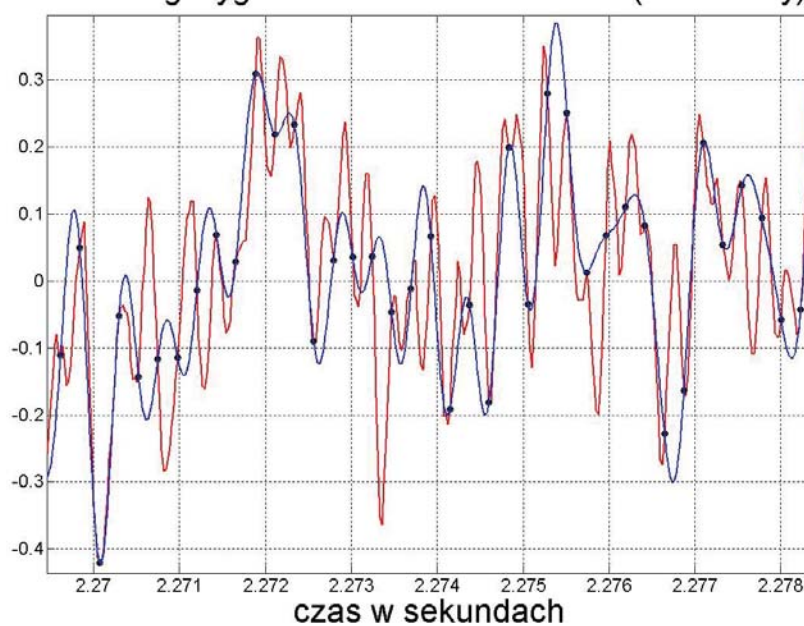
Przykład 1



$f_p = 44100$ Hz zamieniamy na 4410 Hz (10x)

Przykład 1

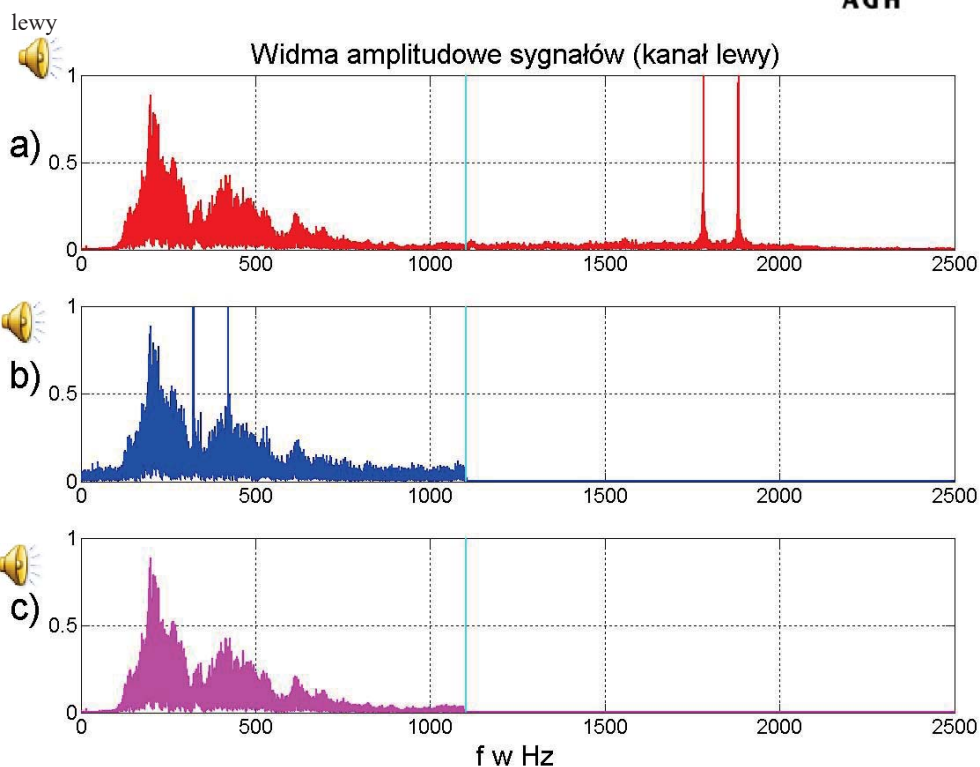
Przebiegi sygnałów w dziedzinie czasu (kanał lewy)



Z aliasingiem

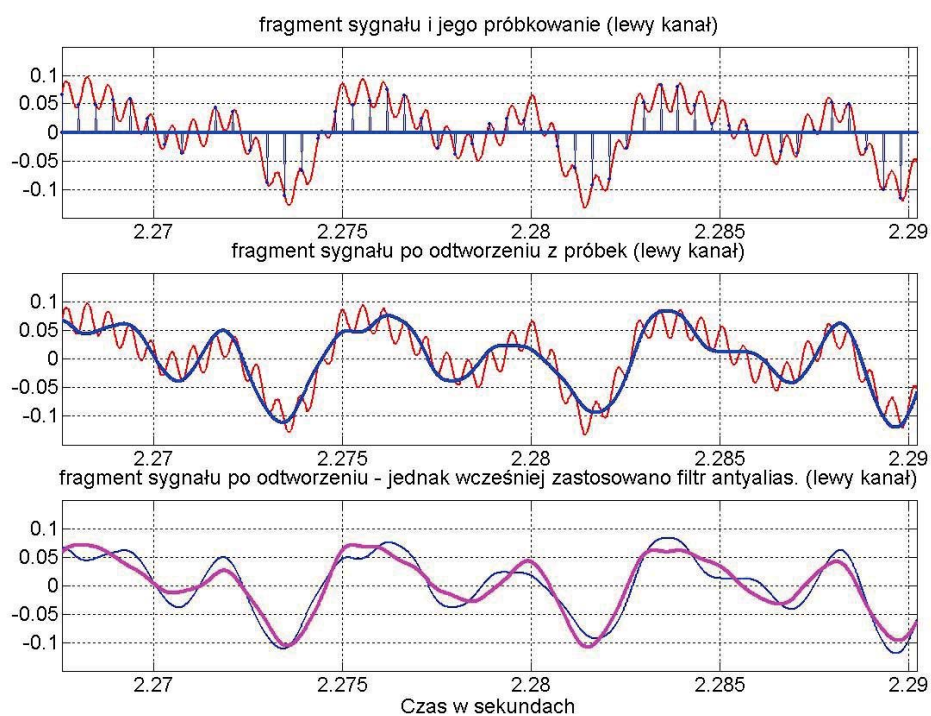
$f_p = 44100$ Hz zamieniamy na 4410 Hz (10x)

Przykład 2



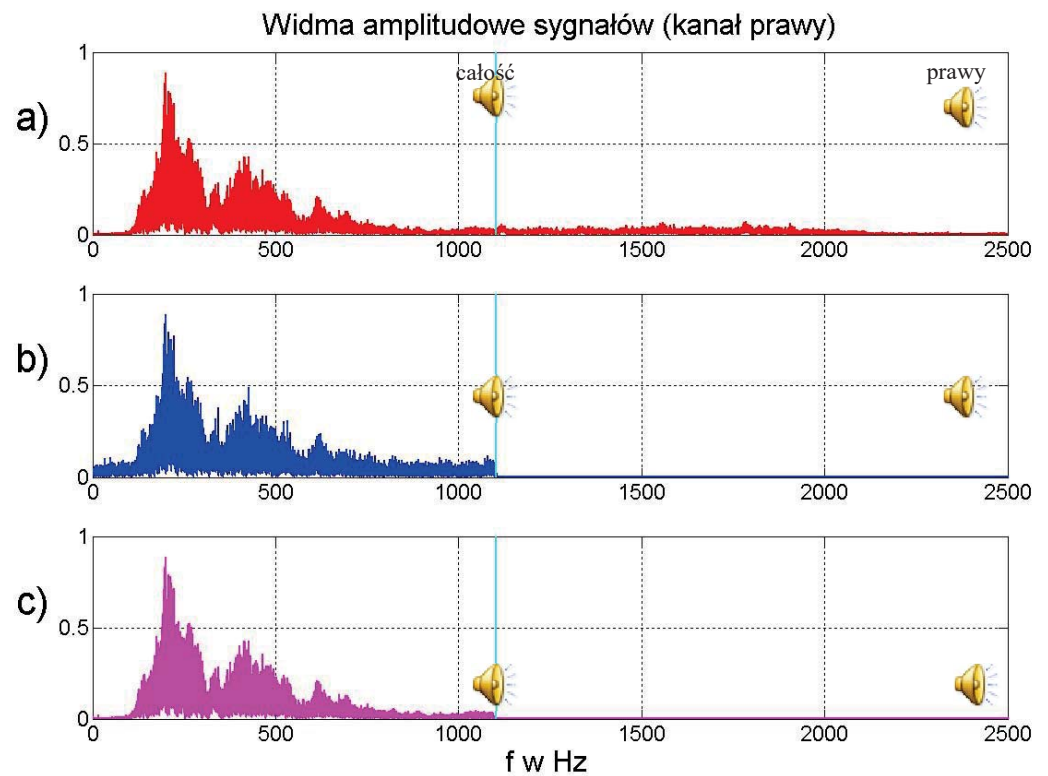
$f_p = 44100$ Hz zamieniamy na 2205 Hz (20x)

Przykład 2



$f_p = 44100$ Hz zamieniamy na 2205 Hz (20x)

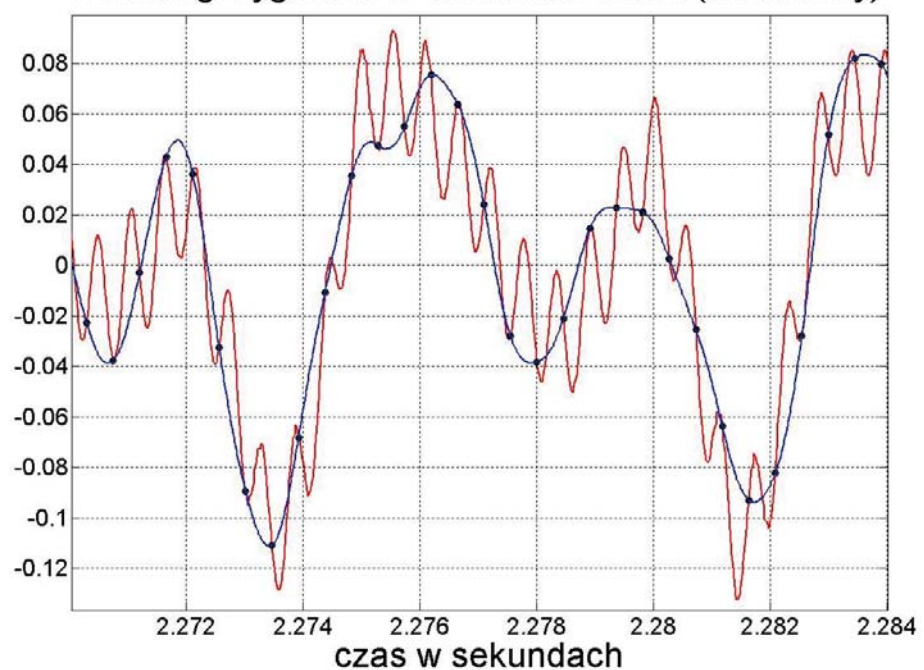
Przykład 2



$f_p = 44100$ Hz zamieniamy na 2205 Hz (20x) 35

Przykład 2

Przebiegi sygnałów w dziedzinie czasu (kanał lewy)



Z aliasingiem

Przykład sygnału dwuwymiarowego



Model matematyczny obrazu analogowego jest odwzorowaniem $s : \mathbb{R}^2 \rightarrow \mathbb{R}$

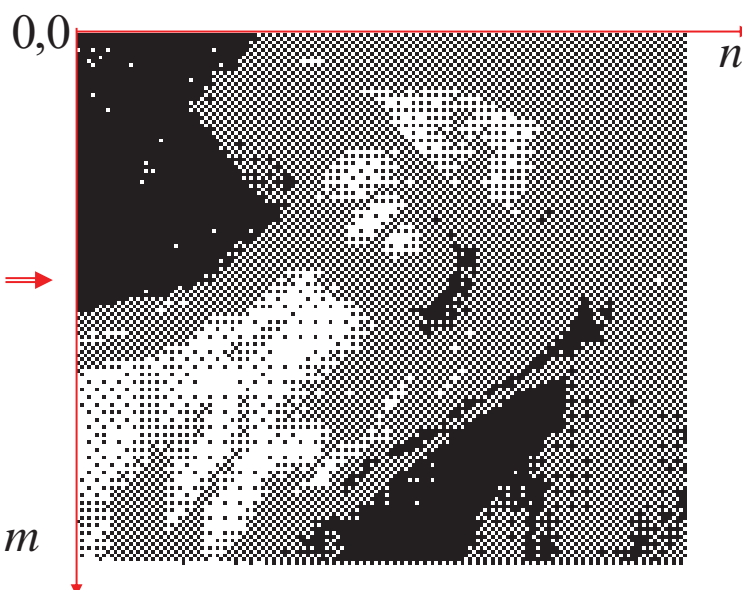
Obraz dyskretny jest zbiorem punktów $\{s(m, n)\}_{m, n}$

zdefiniowanych na dziedzinie $D = \{(m, n) : m, n \in \mathbb{Z}\}$

Model matematyczny dyskretnego obrazu



x 8



$$D = \{(m, n) : m, n \in \mathbb{Z}\}$$

$$\{s(m, n)\}_{m, n}$$

$$s \in \mathbb{R}^{M \times N}$$

gdzie: M - ilość linii, N - ilość punktów (pikseli) w linii

Twierdzenie Shannona dla sygnału 2-D

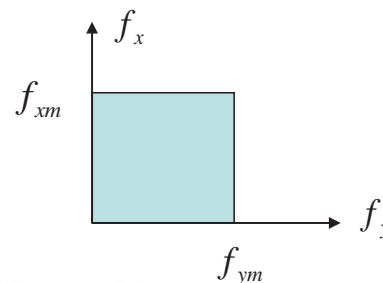
Jeżeli obraz analogowy $s(x, y)$ spełnia następujące warunki:

1) nośnik widma obrazu $\hat{s} \in L^2(\mathbb{R}^2)$ jest ograniczony, tzn.

$$\hat{s}(f_x, f_y) = 0 \text{ jeśli } |f_x| \geq f_{xm} \text{ lub } |f_y| \geq f_{ym},$$

2) próbki obrazu $\{s(m\Delta x, n\Delta y)\}_{m,n=-\infty}^{\infty}$ są pobierane w odstępach Δx i Δy

$$\text{takich, że } \frac{1}{\Delta x} \stackrel{\text{df}}{=} f_{xp} \geq 2f_{xm} \text{ oraz } \frac{1}{\Delta y} \stackrel{\text{df}}{=} f_{yp} \geq 2f_{ym},$$



Twierdzenie Shannona dla sygnału 2-D

Jeżeli obraz analogowy $s(x, y)$ spełnia następujące warunki:

1) nośnik widma obrazu $\hat{s} \in L^2(\mathbb{R}^2)$ jest ograniczony, tzn.

$$\hat{s}(f_x, f_y) = 0 \text{ jeśli } |f_x| \geq f_{xm} \text{ lub } |f_y| \geq f_{ym},$$

2) próbki obrazu $\{s(m\Delta x, n\Delta y)\}_{m,n=-\infty}^{\infty}$ są pobierane w odstępach Δx i Δy

$$\text{takich, że } \frac{1}{\Delta x} \stackrel{\text{df}}{=} f_{xp} \geq 2f_{xm} \text{ oraz } \frac{1}{\Delta y} \stackrel{\text{df}}{=} f_{yp} \geq 2f_{ym},$$

to wtedy obraz analogowy $s(x, y)$ może być zrekonstruowany z obrazu dyskretnego $\{s(m\Delta x, n\Delta y)\}_{m,n=-\infty}^{\infty}$ przy pomocy szeregu

$$s(x, y) = \sum_{m=-\infty}^{\infty} \sum_{n=-\infty}^{\infty} s(m\Delta x, n\Delta y) \frac{\sin(\pi(x/\Delta x - m)) \sin(\pi(y/\Delta y - n))}{\pi^2(x/\Delta x - m)(y/\Delta y - n)}.$$